

文章编号 :1673-1689(2007)01-0065-06

亚麻籽胶中的中性多糖 NFG-1 一级结构的研究

陈海华^{1,2}, 许时婴², 王璋²

(1. 莱阳农学院 食品科学系, 山东 青岛 266109; 2. 江南大学 食品学院, 江苏 无锡 214036)

摘要:采用高碘酸氧化、Smith 降解、甲基化分析、部分酸水解、¹H-NMR 和¹³C-NMR 等方法对亚麻籽胶中的 NFG-1 的结构进行研究。结果表明:NFG-1 的主链主要由木糖和葡萄糖组成。大部分阿拉伯糖和部分木糖位于 NFG-1 的侧链或末端, 木糖主要以 1→4 位键合为主, 并存在少量的 1→2 位键合和 1→3 位键合, 约有 1/3 的木糖位于非还原末端, 葡萄糖主要以 1→6 或 1→2 位键合为主; 阿拉伯糖有 1→4、1→2、1→3 位键合, 有 1/3 的阿拉伯糖位于非还原末端, 半乳糖存在 1→4 或 1→6 位键合, 约有 1/5 位于非还原末端。木糖是 β-型, 葡萄糖、半乳糖和阿拉伯糖均为 α-型。

关键词:亚麻籽胶; 中性多糖(NFG-1) 结构

中图分类号 S 563.2

文献标识码:A

Study on the Primary Structure of NFG-1 from Flaxseed Gum

CHEN Hai-hua^{1,2}, XU Shi-ying², WANG Zhang²

(1. Department of Food Science, LaiYang Agriculture College, Qingdao 266109, China; 2. School of Food Science and Technology, Southern Yangtze University, Wuxi 214036, China)

Abstract The structure of NFG-1 was analyzed by method of periodate oxydation, smith degradation, partial hydrolysis, methylation analysis, ¹H and ¹³C-NMR. The results showed that the backbone of NFG-1 was composed of xylose and glucose. Most of arabinoses and part of xyloses were in the side-chain or at the end group. Xyloses were mainly of 1→4 linkage, and there were also a few of 1→2 or 1→3 linkage, in which about 1/3 of xyloses were located at the end of unreduced group. Glucoses were mainly of 1→6 or 1→2 linkage. Arabinoses were of 1→4, 1→2 or 1→3 linkage, and about 1/3 of arabinoses were located at the end of unreduced group. Galactoses were of 1→4 or 1→6 linkage, and about 1/3 of galactoses were located at the end of unreduced group. Xyloses were characterized as β-linked glycosidic bond, but for glucose, galactose and arabinose, were α-linked glycosidic bonds.

Key words: flaxseed gum; neutral polysaccharide (NFG-1); structure

NFG-1 是从亚麻籽胶中分离纯化得到的一种中性多糖, 采用 CTAB 络合法、离子交换柱层析法和凝胶柱层析法对亚麻籽胶进行分离纯化, 可以得到中性多糖 NFG-1 纯品^[1]。NFG-1 主要由木糖、阿拉伯糖、半乳糖和葡萄糖组成, 相对分子质量为 1.19 ×

10⁶, 苯酚-硫酸法测得其总糖质量分数为 84.9%。UV 的结果表明 NFG-1 不含蛋白质, IR 测定的结果表明 NFG-1 具有多糖的特征吸收, 其糖环的连接方式有两种, 即 α-糖苷键和 β-糖苷键。作者报道了采用高碘酸氧化、Smith 降解、甲基化分析、部分酸水

解、¹H-NMR 和¹³C-NMR 等方法^[2]对 NFG-1 的一级结构进行分析研究的结果。

1 材料和设备

1.1 材料

NFG-1 实验室制备 ;EDC(1-乙基-3-(3-二甲氨基丙基)碳二亚胺) :Fluka 公司产品 ;3A 分子筛 : 上海化学试剂公司产品 ,280 ℃ 活化 12 h 后备用 ; 二甲亚砜 加入 1/4 体积已活化的 3A 分子筛 , 放置 2 d 后使用 ;NaOH 迅速研磨成粉末 , 密封放置于干燥器中备用 ;D₂O(纯度 99.9%) : 北京化工厂产品 ; 其余为分析纯试剂。

1.2 实验仪器与设备

Agilent 6890 型气相色谱仪 : 安捷伦科技有限公司产品 ;Nicolet 5DXB FT-IR 红外光谱仪 : 美国 Nicolet 公司产品 ;Trace MS 气相色谱-质谱联用仪 : 美国 Finigan 公司产品 ;AV300 型核磁共振仪 :Bruker 公司产品 ;KQ 2200 DB 型超声波仪 : 昆山超声仪器有限公司产品 ;755B 紫外可见分光光度计 : 上海分析仪器总厂产品。

2 实验方法

2.1 高碘酸氧化

取 42.0 mg 多糖 , 加 100 mL 15 mmol/L 的高碘酸钠溶液 ,4 ℃ 暗处反应。间隔一定时间取样 , 测定 223 nm 处的吸光值 , 至吸光值恒定。取 10 mL 样品溶液 , 加 1 mL 乙二醇 , 振摇 10 min 后中止反应 , 还原剩余的高碘酸。加入 2 滴酚酞指示剂 , 用 0.01 mol/L NaOH 滴定 , 测定甲酸的生成量。另取 10 mL 15 mmol/L 高碘酸钠溶液 , 加 1 mL 乙二醇 , 振摇 10 min , 再加入 4.2 mg 多糖 , 溶解后用 0.01 mol/L NaOH 溶液滴定 , 作为滴定空白值^[2]。

2.2 Smith 降解

高碘酸氧化完成后 , 取 40 mL 反应液 , 加 4 mL 乙二醇 , 搅拌 30 min , 还原剩余的高碘酸。对水透析后 , 加入 100 mg NaBH₄ , 室温、暗处反应 24 h 。加冰醋酸分解剩余的 NaBH₄ 。对水透析后 , 减压蒸发至干 , 加 2 mol/L 的 TFA 溶液 , 于 121 ℃ 水解 1 h 。水解产物进行 GC 分析^[2]。

2.3 甲基化分析

2.3.1 甲基化反应 取 10 mg 样品 , 加 2 mL DMSO , 室温下超声波作用 2 min , 再加热 20 min 。加 100 mg 干燥的 NaOH 粉末 , 充 N₂ , 室温下超声波作用 10 min 。加 0.7 mL CH₃I , 充 N₂ , 室温下超声波作用 30 min 。加 2 mL H₂O , 中止反应 , 加 1 mol/L 的乙酸

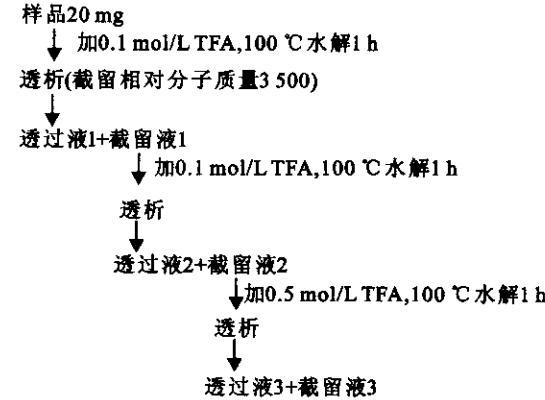
溶液中和 , 对水透析 , 减压蒸发至干 , 红外光谱检测甲基化是否完全^[3]。

2.3.2 甲基化产物的水解、还原和乙酰化 完全甲基化的多糖用 2 mol/L 的 TFA 溶液 , 在 121 ℃ 下水解 1 h , 然后旋转蒸发至干。加入 4 mL 新配的 0.5 mol/L 硼氢化钠 (溶于 2 mol/L 氨水中) , 60 ℃ 反应 60 min , 加入 1 mL 丙酮终止反应 , 旋转蒸发至干。用 0.5 mL 乙酸溶液溶解残渣 , 加 2 mL 乙酸乙酯和 6 mL 乙酸酐混匀 , 再加入 0.2 mL 体积分数 70% 的高氯酸溶液 , 室温反应 10 min 。冰浴冷却 , 加 10 mL 水和 0.4 mL 1- 甲基咪唑 , 反应 5 min 。加 2 mL 二氯甲烷萃取 , 相分离后取二氯甲烷相 , 用 GC/MS 进行分析^[4]。

GC/MS 条件 :OV1707 毛细管柱 (30 m × 0.25 mm) 程序升温 : 起始温度 150 ℃ , 以 3 ℃ /min 升温至 250 ℃ , 停留 10 min , 载气为 He , EI 源 , 70 eV 。

2.4 部分酸水解

样品的部分酸水解工艺路线如下 :



透过液平分成两份 , 一份直接测定单糖组成 , 此为透过液中的游离单糖 ; 另一份透过液加 2 mol/L TFA , 100 ℃ 水解 2 h 后测定单糖组成 , 此为透过液总的单糖组成。二者之差即为透过液中低聚糖的单糖组成。

截留液 3 的分析 加 2 mol/L TFA , 121 ℃ 水解 1 h 后测定单糖组成。

2.5 核磁共振测定

25 ~ 40 mg 样品溶于 0.5 mL D₂O , 用核磁共振仪进行¹H-NMR 和¹³C-NMR 分析。

3 结果与讨论

3.1 高碘酸氧化

从图 1 可知 , 氧化反应在 48 h 后趋于稳定。经计算 42.0 mg NFG-1 消耗 0.2477 mmol 高碘酸。以 NFG-1 的总糖质量分数 84.9% 计算^[1] , 每 1 mol 单糖的高碘酸消耗量为 1.12 mol 。 42.0 mg NFG-1

产生 0.0119 mmol 甲酸 ,即每 1 mol 单糖的甲酸生成量为 0.054 mol。

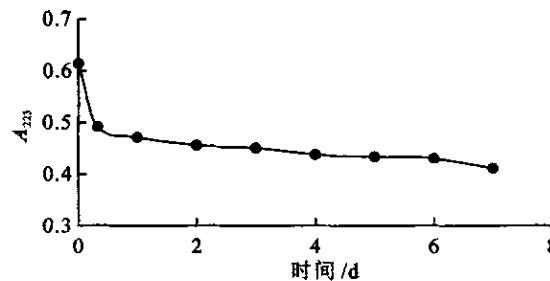


图 1 NFG-1 在 15 mmol/L 高碘酸钠溶液中的氧化曲线

Fig. 1 Oxidant curve of NFG-1 reacted in 15 mmol/L NaIO_4 solution

3.2 Smith 降解

由于实验中加入乙二醇以终止反应 ,终产物中检测乙二醇没有意义 ,一般以甘油、赤藓醇和其它糖等作为糖苷键的特征终产物^[2]。

由表 1 可知 ,Smith 降解产物中检出甘油、赤藓醇、葡萄糖、阿拉伯糖、木糖和半乳糖单体。

表 1 NFG-1 经 Smith 降解后产物的组成

Tab. 1 Production of NFG-1 after Smith degradation

| 样 品 | 质量分数/% | | | | |
|-------------|--------|------|-------|-------|-------|
| | 甘油 | 赤藓醇 | 阿拉伯糖 | 木糖 | 葡萄糖 |
| Smith 降解后产物 | 71.35 | 3.95 | 4.93 | 15.43 | 3.58 |
| NFG-1 单糖 | 0 | 0 | 21.37 | 46.05 | 24.86 |
| | | | | 7.70 | |

由高碘酸氧化和 Smith 降解的结果 ,可以得到以下结论 :

1) 甘油是由 1→2 或 1→4 位键合的戊糖 ,或由 1→2 或 1→6 位键合的己糖产生 ;

2) 赤藓醇是由 1→4 位键合的己糖产生 ;

3) 葡萄糖、阿拉伯糖、木糖和半乳糖单体的存在说明有 1→3 位键合的糖基 ;

4) 甲酸可由 1→6 位键合的己糖产生 ,也可由 1 位键合的吡喃型木糖产生。

从高碘酸氧化和 Smith 降解前后单糖组成的变化可以推测 大部分的戊糖是以 1→2 或 1→4 位键合 少量的戊糖是以 1→3 位键合 ;大部分的己糖是以 1→2 或 1→6 位键合 少量的己糖是以 1→4 或 1→3 位键合。

3.3 部分酸水解

部分酸水解可以把大分子裂解成较小的片断 ,

有利于进行结构分析。一般来说 ,吡喃型糖基比呋喃型糖基稳定 ,己糖比戊糖稳定 ,1→6 位糖苷键对酸水解相对稳定 ,主链的糖基比支链的糖基稳定^[5]。因此 ,通过部分酸水解可判断糖苷键的断裂次序 ,推断可能的糖苷键类型。

从表 2 可知 ,NFG-1 经 0.01 mol/L TFA 水解后 ,透过液水解产物主要是阿拉伯糖 ,另有少量木糖 经 0.1 mol/L TFA 水解后 ,透过液水解产物主要是木糖 ,其次是阿拉伯糖 ,另有少量的葡萄糖 ;经 0.5 mol/L TFA 水解后 ,透过液水解产物主要是木糖 ,其次是葡萄糖和半乳糖 ,另有少量的阿拉伯糖 ;经 0.5 mol/L TFA 水解后的截留液主要是葡萄糖 ,另有少量的木糖。

表 2 NFG-1 部分酸水解产物的单糖组成

Tab. 2 Monosaccharide composition of NFG-1 after partial hydrolysis by acid

| 样 品 | 质量分数/% | | | |
|------------|--------|----|-----|-----|
| | 阿拉伯糖 | 木糖 | 葡萄糖 | 半乳糖 |
| 透过液 1(游离*) | 100 | 0 | 0 | 0 |
| 透过液 1(总**) | 87 | 13 | 0 | 0 |
| 透过液 2(游离) | 12 | 56 | 11 | 0 |
| 透过液 2(总) | 28 | 61 | 11 | 0 |
| 透过液 3(游离) | 1 | 18 | 3 | 8 |
| 透过液 3(总) | 4 | 61 | 18 | 18 |
| 截留液 3 | 0 | 12 | 88 | 0 |

注 :* 为透过液中的游离单糖 ,** 为透过液中的总单糖。

由上述结果可以推测 ,大部分阿拉伯糖和部分木糖可能位于 NFG-1 的侧链或末端 ,部分木糖可能位于 NFG-1 的主链 ;大部分的葡萄糖可能位于 NFG-1 的主链 ,少部分葡萄糖和半乳糖可能位于 NFG-1 的侧链或末端。

由于 NFG-1 经 0.01 mol/L TFA 水解的程度较小 ,而经 0.5 mol/L TFA 水解的程度又过大 ,得不到有效的结构信息 ,因此又采用 0.03、0.1 mol/L 的 TFA 溶液对 NFG-1 进行水解 ,分别对截留液 JL003 和截留液 JL01 进行单糖组成的分析。

由表 3 可知 ,JL003 中木糖和葡萄糖的含量最多 ,阿拉伯糖和半乳糖含量较少 ;JL01 中葡萄糖的含量最高 ,其次是木糖 ,阿拉伯糖和半乳糖的含量最少。结合表 3 的结果可以进一步推测 ,部分木糖和大部分葡萄糖可能位于 NFG-1 的主链 ;阿拉伯糖位于 NFG-1 的侧链或末端 ;半乳糖可能位于 NFG-1 的侧链或末端。

表3 NFG-1 部分酸水解后截留液的单糖组成

Tab. 3 Monosaccharide composition of NFG-1 after hydrolyzed by 0.01 and 0.1 mol/L TFA

| 样品 | 质量分数/% | | | |
|-------|--------|----|-----|-----|
| | 阿拉伯糖 | 木糖 | 葡萄糖 | 半乳糖 |
| JL003 | 4 | 47 | 42 | 6 |
| JL01 | 1 | 20 | 73 | 5 |

3.4 甲基化分析

甲基化分析是研究多糖结构最经典的方法,用于阐明单糖残基间的连接方式。其原理是将多糖的游离羟基全部甲基化,水解后得到部分甲基化的单糖,其羟基所在的位置,即为原来单糖残基的连接点^[6]。

根据 JL003 的单糖组成,结合标准图谱对 JL003 甲基化碎片的 GC 图(见图 2)中含量较高的峰进行归属,结果见表 4。

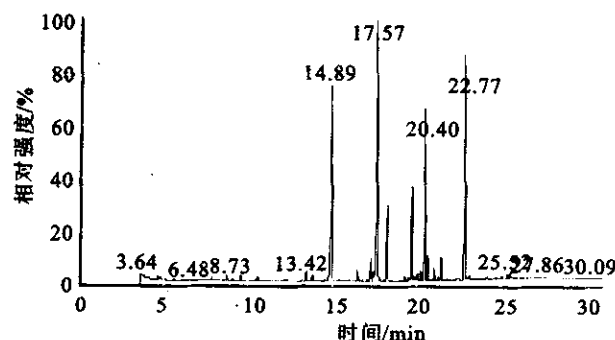


图2 NFG-1-JL003 的甲基化碎片的 GC 图

Fig. 2 GC chromatography of of NFG-1-JL003 methylated fragments

表4 NFG-1-JL003 的甲基化分析

Tab. 4 Methylation analysis of NFG-1-JL003

| 保留时间/min | 甲基化碎片 | 构型 | 相对摩尔比 |
|----------|---------------------------|-------------|-------|
| 14. 80 | 2,3,4- Me_3 -Ara | Ara (1→ | 1. 0 |
| 17. 57 | 2,3- Me_2 -Xyl | →4) Xyl (1→ | 8. 6 |
| 18. 17 | 2,3,4- Me_4 - | Gal (1→ | 1. 8 |
| 20. 40 | 2,3,4- Me_3 -Glc | →6) Glc (1→ | 4. 4 |

综合分析上述结果,可以得到以下结论:NFG-1-JL003 主要由 →4) Xyl (1→ 和 →6) Glc (1→ 构成。

根据 JL01 的单糖组成,结合标准图谱对 JL01 甲基化碎片的 GC 图(见图 3)中含量较高的峰进行归属,结果见表 5。

万方数据

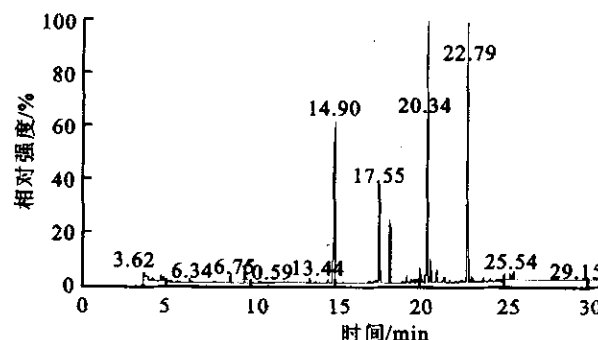


图3 NFG-1-JL01 甲基化碎片的 GC 图

Fig. 3 GC chromatography of of NFG-1-JL01 methylated fragments

表5 NFG-1-JL01 的甲基化分析

Tab. 5 Methylation analysis of NFG-1-01

| 保留时间/min | 甲基化碎片 | 构型 | 相对摩尔比 |
|----------|---------------------------|-------------|-------|
| 14. 82 | 2,3,4- Me_3 -Ara | Ara (1→ | 1. 0 |
| 17. 55 | 2,3- Me_2 -Xyl | →4) Xyl (1→ | 3. 8 |
| 18. 19 | 2,3,4- Me_4 -Gal | Gal (1→ | 2. 3 |
| 20. 43 | 2,3,4- Me_3 -Glc | →6) Glc (1→ | 10. 7 |

综合分析上述结果,可以得到以下结论:NFG-1-JL01 主要由 →6) Glc (1→ 构成,还含有一定量的 →4) Xyl (1→。

根据 NFG-1 的单糖组成,结合标准图谱对 NFG-1 甲基化碎片的 GC 图(见图 4)中含量较高的峰进行归属,结果见表 6。

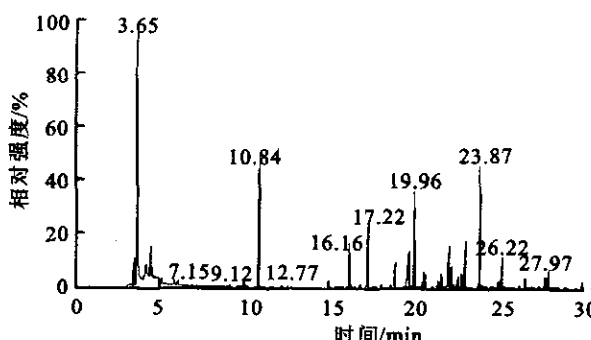


图4 NFG-1 甲基化碎片的 GC 图

Fig. 4 GC chromatography of of NFG-1 methylated fragments

综合分析上述结果,可以得到以下结论:木糖主要以 1→4 位键合,并存在少量的 1→2 和 1→3 位键合,约有 1/3 的木糖位于非还原末端;葡萄糖主要以 1→6 位键合;阿拉伯糖有 1→4、1→2、1→3 位键合,约有 1/3 的阿拉伯糖位于非还原末端;半乳糖存在 1→4 或 1→6 位键合,约有 1/5 位于非还原末端。

表6 NFG-1 的甲基化分析

Tab. 6 Methylation analysis of NFG-1

| 保留时间/min | 甲基化碎片 | 构型 | 相对摩尔比 |
|----------|------------------------------|--------------|-------|
| 16. 16 | 2 3 4-Me ₃ -Ara | Ara(1→ | 4. 4 |
| 17. 23 | 2 3 4-Me ₃ -Xyl | Xyl(1→ | 6. 9 |
| 18. 87 | 2 5-Me ₂ -Xyl | →3 4) Xyl(1→ | 2. 5 |
| 19. 59 | 2 4-Me ₂ -Ara | →3) Ara(1→ | 2. 0 |
| 19. 66 | 2 3 5-Me ₃ -Gal | →4 6) Gal(1→ | 3. 6 |
| 19. 97 | 2 3 5-Me ₃ -Xyl | →4) Xyl(1→ | 10. 2 |
| 20. 58 | 2 3 4 6-Me ₄ -Gal | Gal(1→ | 1. 1 |
| 22. 09 | 3-Me ₁ -Xyl | →2 4) Xyl(1→ | 5. 4 |
| 22. 62 | 2 3 5-Me ₃ -Ara | →4) Ara(1→ | 1. 0 |
| 23. 05 | 3-Me ₁ -Ara | 2 4) Ara(1→ | 5. 0 |
| 23. 87 | 2 3 4-Me ₂ -Glc | →6) Glc(1→ | 14. 2 |

3.5 核磁共振分析

¹H-NMR 可以确定多糖结构中糖苷键的构型，通常 α -型糖苷的异头质子的化学位移 δ 大于 5.0，而 β -型 δ 小于 5.0。耦合常数 $J_{1,2}$ 对解析异头质子的构型也有帮助。如果异头质子同时满足化学位移小于 5.0 且 $J_{1,2}$ 大于 6，则认为是 β -型；反之，若化学位移大于 5.0 且 $J_{1,2}$ 小于 4，则认为是 α -型。

$J_{1,2}$ 的计算方法是谱峰的分裂间距(1×10^{-6})乘以仪器的工作频率。¹³C-NMR 谱图的分辨率好，谱线很少重叠，可以确定糖链的连接位置，也可以确定某些糖类，还可以确定糖残基的数目和相对含量^[7-8]。

3.5.1 ¹H-NMR 分析 由于 NFG-1 相对分子质量大，溶解度差，因此其¹H-NMR 的响应信号很弱，从图中只能得到化学位移分别为 δ 4.86 和 δ 4.75 的两个异头质子 F 和 G 的信号，其构型为 β -型。从 NFG-1-JL003 的¹H-NMR 谱图和 NFG-1-JL01 的¹H-NMR 谱图中均可找到 7 个异头质子，它们的化学位移及由此推出的构型，以及异头质子的对应关系见表 7。

根据 NFG-1-JL003 和 NFG-1-JL01 的单糖组成，可以推测：

1) 由于 0.1 mol/L TFA 水解后，NFG-1-JL01 中的 5 变化不大，而 6 明显下降，因此 NFG-1-JL003 的 5 和 6 分别对应葡萄糖和木糖；

2) 由于 NFG-1-JL01 中的 2 增加很多，因此 NFG-1-JL003 的 2 也是葡萄糖；

3) 由于 NFG-1-JL01 中的 1 基本消失，因此

NFG-1-JL003 的 1 是阿拉伯糖；

4) 由于 NFG-1-JL01 中的 4 增加，因此 NFG-1-JL003 的 4 是葡萄糖；

5) NFG-1-JL01 中的 3 基本不变，因此 NFG-1-JL003 的 3 是半乳糖；

6) NFG-1-JL01 中的 7 基本不变，而且经 0.1 mol/L TFA 水解后，NFG-1-JL01 中的木糖含量仍很多，因此推测 NFG-1-JL003 的 7 是木糖。

表7 NFG-1、NFG-1-JL003 和 NFG-1-JL01 的异头质子

Tab. 7 Anomeric protons of NFG-1, NFG-1-JL003 and NFG-1-JL01

| NFG-1 异头质子 | | F | G | | | | |
|---------------------|----------|----------|----------|----------|----------|---------|---------|
| 化学位移 | | 4.86 | 4.75 | | | | |
| NFG-1-JL003 异头质子 | 1 | 2 | 3 | 4 | 5 | 6 | 7 |
| 化学位移 | 5.66 | 5.52 | 5.38 | 5.26 | 5.17 | 4.86 | 4.80 |
| NFG-1-JL01 异头质子 | 1' | 2' | 3' | 4' | 5' | 6' | 7' |
| 化学位移 | 5.66 | 5.53 | 5.38 | 5.25 | 5.19 | 4.89 | 4.79 |
| 构型 | α | α | α | α | α | β | β |

综合以上分析，从¹H-NMR 可以得到以下结论：

1) NFG-1-JL003 的 6 和 7 是木糖。6 的耦合常数 $J_{1,2} = (4.88574 - 4.86040) \times 300 = 7.6$ Hz，且其位移 δ 4.86 < 5.0，因此 6 应该是 β -型；同理可以推测 7 也是 β -型。即木糖是 β -型。

2) NFG-1-JL003 中的 2、4 和 5 是葡萄糖，其位移 δ 均大于 5.0，因此 2、4 和 5 对应的葡萄糖均为 α -型；

3) NFG-1-JL003 中的 1 是阿拉伯糖，由于其易被水解，且其位移 δ 均大于 5.0，因此 1 对应的阿拉伯糖为 α -型，且位于末端；

4) NFG-1-JL003 中的 3 是半乳糖，且其位移 δ 大于 5.0，因此 3 对应的半乳糖为 α -型。

3.5.2 ¹³C-NMR 分析 对 NFG-1-JL003 的¹³C-NMR 图谱进行分析，可得到以下结论：

1) 异头碳区 δ 105.4 ~ 100.0 有 7 个异头碳，化学位移分别为 105.4、104.0、103.4、103.3、101.8、100.5 和 100.0，表明存在 7 种糖残基，这与¹H-NMR 的分析结果相同。

2) δ 66.9 的峰是 α -1,6-Glc 的 C-6 的特征信号， δ 78.1 的峰是 β -1,4-Xyl 的 C-4 的特征信号。

3) δ 170 ~ 176 没有信号，说明不存在己糖醛酸 δ 16 ~ 18 范围内没有信号，表明不存在 6 位脱氧己糖的甲基。

由于NFG-1的相对分子质量很大,单糖组成也很复杂,尚不能得到NFG-1确切的一级结构。但是通过高碘酸氧化和Smith降解、部分酸水解、甲基化分析和核磁共振分析等手段,初步得到了多糖主链的一些片断的结构信息,为一级结构的进一步研究提供了基础。

4 小 结

NFG-1的主链主要由木糖和葡萄糖组成。大部

分阿拉伯糖和部分木糖位于NFG-1的侧链或末端,木糖主要以1→4位键合为主,并存在少量的1→2位键合和1→3位键合,约有1/3的木糖位于非还原末端,葡萄糖主要以1→6或1→2位键合为主,阿拉伯糖有1→4、1→2、1→3位键合,有1/3的阿拉伯糖位于非还原末端,半乳糖存在1→4或1→6位键合,约有1/5位于非还原末端。木糖是 β -型,葡萄糖、半乳糖和阿拉伯糖均为 α -型。

参考文献(References):

- [1] 陈海华,许时婴,王璋. 亚麻籽胶中酸性多糖和中性多糖的分离纯化[J]. 食品与发酵工业, 2004, (1): 96-100.
Chen Hai-hua, Xu Shi-ying, Wang Zhang. Isolation and purification of acid polysaccharide and neutral polysaccharide in flaxseed gum[J]. Food and Fermentation Industry, 2004, (1): 96-100. (in Chinese)
- [2] 张惟杰. 糖类复合物生化研究技术[M]. 杭州:浙江大学出版社, 1994.
- [3] Needs P W, Selvendran R R. Avoiding oxidative degradation during sodium hydroxide/methyl iodide-mediated carbohydrate methylation in dimethyl sulfoxide[J]. Carbohydr Res, 1993, 245: 1-10.
- [4] Harris P J, Henry R J, Blakeney A B, et al. An improved procedure for the methylation analysis of oligosaccharides and polysaccharides[J]. Carbohydr Res, 1984, 127: 59-73.
- [5] 张力田. 碳水化合物化学[M]. 北京:中国轻工业出版社, 1988.
- [6] 董群,方积年. 寡糖及多糖甲基化方法的发展及现状[J]. 天然产物研究与开发, 1995, 7(2): 60-65.
Dong Qun, Fang Ji-nian. Development and status in methylation method of oligosaccharide and polysaccharide[J]. Natural Product Research and Development, 1995, 7(2): 60-65. (in Chinese)
- [7] 于德泉,杨峻山. 分析化学手册/第七分册(核磁共振波谱解析)[M]. 北京:化学工业出版社, 1999.
- [8] 宁永成. 有机化合物结构鉴定与有机波谱学[M]. 北京:科学出版社, 2000.

(责任编辑 朱明)